

УДК 539.3

## О ВЗАИМОДЕЙСТВИИ КОНЕЧНЫХ И ПОЛУБЕСКОНЕЧНЫХ ТРЕЩИН В УПРУГОЙ ПОЛУПЛОСКОСТИ

АФЯН Б. А., СТЕПАНЯН С. П.

Особое значение в механике разрушения имеют задачи о конечной и полубесконечной трещинах в полуплоскости, поскольку с их помощью можно оценить влияние границы тела на распределение напряжений, когда трещина расположена вблизи границы.

В данной работе получено приближенное решение плоской задачи теории упругости для полуплоскости с конечными и полубесконечными трещинами (фиг. 1). Вся граница полуплоскости жестко защемлена, а на поверхностях трещин заданы самоуравновешенные нагрузки:

$$\sigma_{yy}(x, 0) = p_0(x), \quad \tau_{xy}(x, 0) = q_0(x)$$

$$|x| \in (0, a) U(b, +\infty)$$

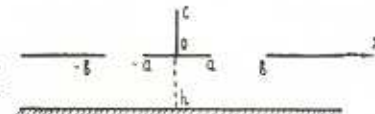
$$\sigma_{xx}(0, y) = \sigma(y), \quad \tau_{xy}(0, y) = 0$$

$$y \in (0, c) U(d, +\infty)$$

$$u(x, -h) = v(x, -h) = 0, \quad x \in (-\infty, +\infty)$$

1. Вывод интегрального уравнения.  
Рассматриваются следующие задачи теории упругости:

а) первая основная задача теории упругости для квадранта ( $0 < x, y < +\infty$ )



Фиг. 1

$$\sigma_{xx}(0, y) = \sigma_1(y), \quad \tau_{xy}(0, y) = 0, \quad (0 < y < \infty) \quad (1.1)$$

$$\sigma_{yy}(x, 0) = p_1(x), \quad \tau_{xy}(x, 0) = q_1(x) \quad (0 < x < \infty)$$

б) смешанная задача теории упругости для полосы ( $-\infty < x < \infty, -h < y < 0$ )

$$\sigma_{yy}(x, 0) = p_1(x), \quad \tau_{xy}(x, 0) = q_1(x), \quad u(x, -h) = v(x, -h) = 0, \quad (-\infty < x < \infty) \quad (1.2)$$

где

$$p_1(x) = \begin{cases} p_0(x), & x \in (0, a) U(b, +\infty) \\ p(x), & x \in (a, b) \end{cases}$$

$$q_1(x) = \begin{cases} q_0(x), & x \in (0, a) U(b, +\infty) \\ q(x), & x \in (a, b) \end{cases}$$

соответственно симметричная и антисимметричная функции относительно точки 0,

$$\sigma_1(y) = \begin{cases} \sigma_0(y), & y \in (0, c) \cup (d, +\infty) \\ -\sigma(y), & y \in (c, d) \end{cases}$$

В [1] найдены перемещения от неизвестных напряжений  $p(x)$ ,  $q(x)$  и  $\sigma(y)$  ( $x \in (a, b)$ ,  $y \in (c, d)$ )

для задачи (1.1):

$$\begin{aligned} Eu_s'(x, 0^+) = & (1-\nu)p_1(x) + \frac{2}{\pi} \int_0^\infty \left[ \frac{1}{x-t} - \frac{1}{x+t} \right] q_1(t) dt + \\ & + \int_0^\infty R_1(t, x)p_1(t) dt + \int_0^\infty R_2(t, x)q_1(t) dt - \int_0^\infty R_7(t, x)\sigma_1(t) dt \\ Ev_s'(x, 0^+) = & (\nu-1)q_1(x) + \frac{2}{\pi} \int_0^\infty \left[ \frac{1}{x-t} + \frac{1}{x+t} \right] p_1(t) dt + \\ & + \int_0^\infty R_3(t, x)p_1(t) dt - \int_0^\infty R_4(t, x)q_1(t) dt - \int_0^\infty R_8(t, x)\sigma_1(t) dt \\ Eu_x(0, y) = & \frac{2}{\pi} \int_0^\infty \left[ \frac{1}{y-t} - \frac{1}{y+t} \right] \sigma_1(t) dt - \int_0^\infty R_6(t, y)p_1(t) dt + \\ & + \int_0^\infty R_5(t, y)q_1(t) dt + \int_0^\infty R_2(t, y)\sigma_1(t) dt \end{aligned}$$

для задачи (1.2):

$$\begin{aligned} Eu_x'(x, 0^-) = & (1-\nu)p(x) - \frac{2}{\pi} \int_0^\infty \left[ \frac{1}{x-t} - \frac{1}{x+t} \right] q_1(t) dt + \\ & + \int_0^\infty K_1(t, x)p_1(t) dt + \int_0^\infty K_2(t, x)q_1(t) dt \\ Ev_x'(x, 0^-) = & (\nu-1)q_1(x) - \frac{2}{\pi} \int_0^\infty \left[ \frac{1}{x-t} + \frac{1}{x+t} \right] p_1(t) dt - \\ & - \int_0^\infty K_3(t, x)p_1(t) dt - \int_0^\infty K_4(t, x)q_1(t) dt \end{aligned}$$

где  $E$  и  $\nu$ —модуль Юнга и коэффициент Пуассона, соответственно;  $R_i(t, x)$  и  $K_j(t, x)$ , ( $i=1, 7$ ,  $j=1, 4$ )—регулярные функции [1].

Требуя обращения в нуль скачков перемещений

$$u'_x(x, 0^+) - u'_x(x, 0^-) = 0, \quad v'_x(x, 0^+) - v'_x(x, 0^-) = 0 \quad (1.3)$$

и удовлетворяя условию симметрии

$$\frac{\partial u(0, y)}{\partial y} = 0 \quad (1.4)$$

получим интегральные уравнения поставленной задачи

$$\begin{aligned} & \frac{4}{\pi} \int_a^b \frac{p(t)}{x-t} dt + \int_a^b M_{1,1}(t, x)p(t)dt + \int_a^b M_{1,2}(t, x)q(t)dt + \\ & + \int_c^d R_6(t, x)\sigma(t)dt = F_1(x), \quad x \in (a, b) \\ & \frac{4}{\pi} \int_a^b \frac{q(t)}{x-t} dt + \int_a^b M_{2,1}(t, x)p(t)dt + \int_a^b M_{2,2}(t, x)q(t)dt - \\ & - \int_c^d R_7(t, x)\sigma(t)dt = F_2(x), \quad x \in (a, b) \\ & \frac{2}{\pi} \int_c^d \frac{\sigma(t)}{x-t} dt - \int_a^b R_8(t, x)p(t)dt + \int_a^b R_5(t, x)q(t)dt + \\ & + \int_c^d R_4(t, x)\sigma(t)dt = F_3(x), \quad x \in (c, d) \end{aligned} \quad (1.5)$$

Здесь ядра  $M_{ij}(t, x)$  ( $i, j = 1, 2$ ) и правые части  $F_i(x)$  ( $i=1, 2, 3$ ) определяются из (1.3) и (1.4). Уравнения (1.5) представляют собой систему сингулярных интегральных уравнений первого рода с ядром Коши и регулярной частью. Функции  $p(t)$ ,  $q(t)$  и  $\sigma(t)$  удовлетворяют условиям равновесия

$$\begin{aligned} & \int_a^b p(t)dt = - \int_0^a p_0(t)dt - \int_b^\infty p_0(t)dt, \quad \int_a^b q(t)dt = - \int_0^a q_0(t)dt - \int_b^\infty q_0(t)dt \\ & \int_c^d \sigma(t)dt = - \int_0^c \sigma_0(t)dt - \int_d^\infty \sigma_0(t)dt \end{aligned} \quad (1.6)$$

После замены переменных  $x = \frac{b-a}{2}z + \frac{a+b}{2}$ ,  $t = \frac{b-a}{2}y + \frac{a+b}{2}$  при  $t, x \in (a, b)$  и  $x = \frac{d-c}{2}z + \frac{d+c}{2}$ ,  $t = \frac{d-c}{2}y + \frac{d+c}{2}$  при  $t, x \in (c, d)$ , уравнения (1.5) и (1.6) преобразуются к виду

$$\frac{1}{\pi} \int_{-1}^1 \frac{\Phi_i(y)}{z-y} dy + \sum_{j=1}^3 \int_{-1}^1 N_{ij}(y, z) \Phi_j(y) dy = \varphi_i(z), \quad z \in (-1, 1) \quad (1.7)$$

$$\int_{-1}^1 \Phi_i(y) dy = c_i, \quad (i=1, 2, 3) \quad (1.8)$$

где  $\Phi_1(y) = p \left( \frac{b-a}{2} y + \frac{a+b}{2} \right)$ ,  $\Phi_2(y) = q \left( \frac{b-a}{2} y + \frac{a+b}{2} \right)$ ,  $\Phi_3(y) = r \left( \frac{d-c}{2} y + \frac{d+c}{2} \right)$ ; а остальные функции  $\varphi_i(z)$ ,  $N_{ij}(y, z)$  ( $i, j = 1, 2, 3$ ) определяются аналогичным образом.

2. Определение коэффициентов интенсивности напряжений. Решение системы (1.7) при условии (1.8) в классе функций, не ограниченных при  $y = \pm 1$ , то есть

$$\Phi_i(y) = (1-y^2)^{-1/2} W_i(y) \quad (i=1, 2, 3)$$

где  $W_i(y)$ —непрерывные функции на отрезке  $[-1, 1]$ , существует и единственны [2].

Численное решение (1.7) получим с помощью квадратурных формул Гаусса [3]

$$\int_{-1}^1 \frac{f(x) dx}{\sqrt{1-x^2}(x-y_m)} = \frac{\pi}{n} \sum_{k=1}^n \frac{f(x_k)}{x_k - y_m} \quad (2.1)$$

$$\int_{-1}^1 \frac{f(x) dx}{\sqrt{1-x^2}} = \frac{\pi}{n} \sum_{k=1}^n f(x_k) \quad (2.2)$$

где

$$x_k = \cos \frac{2k-1}{2n} \pi, \quad y_m = \cos \frac{\pi m}{n}, \quad (k=1, 2, \dots, n; m=1, 2, \dots, n-1) \quad (2.3)$$

Применим квадратурные формулы (2.1) и (2.2) к уравнениям (1.7) и интегралам (1.8). В результате получим систему 3n линейных алгебраических уравнений

$$\begin{aligned} \frac{1}{n} \sum_{k=1}^n W_i(x_k) \left| \frac{1}{y_m - x_k} + \pi \sum_{j=1}^3 N_{ij}(x_k, y_m) \right| &= \varphi_i(y_m) \\ \frac{\pi}{n} \sum_{k=1}^n W_i(x_k) &= c_i \quad (i=1, 2, 3) \end{aligned}$$

для определения 3n неизвестных  $W_i(x_k)$  ( $i=1, 2, 3$ ,  $k=1, 2, \dots, n$ ).

Заметим, что сходимость процесса при гладких функциях  $\varphi_i(z)$  и  $N_{ij}(y, z)$  следует из сходимости квадратурных формул (2.1) и (2.2) и единственности решения уравнения (1.7) при условии (1.8).

Воспользовавшись интерполяционным полиномом Лагранжа [4]

$$W_i(y) = \frac{1}{n} \sum_{k=1}^n (-1)^{k+1} W_i(x_k) \frac{T_n(y)\sqrt{1-x_k^2}}{y-x_k}$$

( $T_n(y) = \cos(n \arccos y)$  — многочлены Чебышева), по узлам (2.3) найдем значения искомых функций  $W_i(y)$  в точках  $y = \pm 1$ , через которые выражаются коэффициенты интенсивности напряжений.

В табл. 1 и 2 при различных значениях параметров  $d/a$ ,  $b/a$  и  $h/a$  ( $a=c$ ) приведены значения коэффициентов интенсивности напряжений, в случае единичной нагрузки на трещинах  $(-a, a)$  и  $(0, c)$ .

Таблица 1  
 $h/a=1, b/a=4$

$d/a$ $K/\sigma_0$	2	2,5	3	3,5	4	5
$K_1(a)/\sigma_0$	0,360	0,357	0,356	0,355	0,354	0,353
$K_2(a)/\sigma_0$	0,014	0,016	0,017	0,018	0,018	0,019
$K_1(b)/\sigma_0$	0,056	0,057	0,058	0,058	0,059	0,059
$K_2(b)/\sigma_0$	0,001	0,001	0,0	0,0	0,0	0,0
$K_1(c)/\sigma_0$	1,280	0,798	0,574	0,445	0,362	0,261
$K_2(c)/\sigma_0$	0,387	0,188	0,112	0,074	0,053	0,032

Таблица 2  
 $h/a=5, b/a=4$

$d/a$ $K/\sigma_0$	2	2,5	3	3,5	4	5
$K_1(a)/\sigma_0$	0,399	0,397	0,395	0,395	0,394	0,393
$K_2(a)/\sigma_0$	0,024	0,025	0,026	0,026	0,026	0,027
$K_1(b)/\sigma_0$	0,041	0,042	0,042	0,043	0,043	0,044
$K_2(b)/\sigma_0$	-0,003	-0,004	-0,004	-0,005	-0,005	-0,005
$K_1(c)/\sigma_0$	1,279	0,798	0,574	0,445	0,362	0,261
$K_2(c)/\sigma_0$	0,386	0,187	0,111	0,074	0,053	0,031

## ABOUT INTERACTION OF FINITE AND SEMI-FINITE CRACKS IN ELASTIC HALF-PLANE

B. A. APHIAN, S. P. STEPANIAN

ԱՌԱՋԳԱԿԱՆ ԿԻՍԱՀԱՐԹՈՒԹՅՈՒՆՆԵՐԻ ՎԵՐՋԱՎՈՐ ԵՎ ԿԻՍԱԱՎԵՐՁ  
ՃԱՔԵՐԻ ՓՈԽԱԶԴԻՑՈՒԹՅԱՆ ՄԱՍԻՆ

Բ. Ա. ԱԳՅԱՆ, Ա. Փ. ԱՏԵՓԱՆՅԱՆ

Ա մ փ ո փ ու մ

Դիտարկված է վերջավոր և կիսաանվերջ ճաքերով թուղացված կիսա-  
հարթության հավասարակշռությունը, երբ կիսահարթության եզրը կոչու ամ-  
րակցված է, իսկ ճաքերի վրա դրված են ինքնահավասարակշռված բեռներ։  
Ուսումնասիրված է եզրի ազգեցությունը լարումների բաշխման վրա։ Ճա-  
քերի ծայրակետերու լարումների ինտենսիվության գործակիցների համար  
բերված են թվային արժեքներ։

Լ И Т Е Р А Т У Р А

1. Ағյян Б. А., Степанян С. П. Об одной задаче упругой полуплоскости, ослабленной трещинами.—Изв. АН Арм. ССР. Механика, 1989, т. 42, № 2, с. 50—57.
2. Мусхелишвили Н. И. Сингулярные интегральные уравнения.—М.: Физматгиз, 1962. 511 с.
3. Erdogan F. E., Gupta G. On the numerical solutions of singular integral equations.—Quart. Appl. Math., 1972, vol. 7, № 8, p. 525—534.
4. Саврук М. П. Двумерные задачи упругости для тел с трещинами.—Киев: Наукова думка, 1981. 324 с.

Институт механики АН Армянской ССР

Поступила в редакцию  
16.III.1989